

УДК 517.9

## Приближенный анализ конвективной задачи Стефана

Миненко А.С., Радевич Е.В.

Донецкий национальный технический университет

[radevich\\_katerina@mail.ru](mailto:radevich_katerina@mail.ru)

**Миненко А.С., Радевич Е.В. Приближенный анализ конвективной задачи Стефана.**

Осуществляется математическое моделирование одного класса сложных систем с применением нечеткой логики, а также численный анализ нелинейной математической модели.

**Ключевые слова:** задача Стефана, анализ, математическое моделирование, математическая модель, нечеткая логика.

### Введение

Теплофизические процессы, сопровождающиеся фазовыми переходами вещества, описываются математической моделью, в которой температура каждой из фаз удовлетворяет уравнению переноса тепла со своими теплофизическими коэффициентами, на границе раздела фаз, обе температуры постоянны и равны температуре фазового перехода, а на заданных частях границы поддерживается определенный режим. Поверхность раздела фаз является неизвестной или «свободной» границей, и для ее определения дополнительно задается так называемое «условие Стефана», означающее, что тепловой поток через фронт кристаллизации в сторону твердой фазы равен тепловому потоку со стороны жидкой фазы плюс скрытая теплота фазового перехода.

### Математическое моделирование одного класса сложных систем с применением нечеткой логики

Рассмотрим область  $\Omega = \{(x_1, x_2, x_3) : r^2 < x_1^2 + x_2^2 + x_3^2 < R^2\}$  и через  $\Gamma^-$  и  $\Gamma^+$  обозначим следующие сферы:  $\Gamma^- = \{(x_1, x_2, x_3) : x_1^2 + x_2^2 + x_3^2 = r^2\}$ ,  $\Gamma^+ = \{(x_1, x_2, x_3) : x_1^2 + x_2^2 + x_3^2 = R^2\}$ . Далее, пусть  $\Gamma_0$  гладкая, связная поверхность без самопересечений, лежащая внутри  $\Omega$ , которая разбивает ее на две подобласти  $\Omega^+$  и  $\Omega^-$ , т.е.  $\Omega = \Omega^+ \cup \Omega^-$ , причем сфера  $\Gamma^-$  лежит внутри ограниченной области, границей которой является  $\Gamma_0$ . Рассмотрим краевую задачу со свободной границей  $\Gamma_0$ . Требуется определить тройку  $(u^\pm(x), \Gamma_0)$  по следующим условиям:

$$\begin{aligned} \nabla^2 u^\pm(x) &= 0, x \in \Omega^\pm; u^\pm(x)|_{\Gamma^\pm} = B^\pm(x); \\ u^\pm(x) &= 1, |\nabla u^-(x)| - |\nabla u^+(x)| = 0, x \in \Gamma_0. \end{aligned} \quad (1)$$

При этом,

$$B^\pm(x) \in C^{3+\alpha}(\Gamma^\pm), u^\pm(x) \in C^{3+\alpha}(\overline{\Omega^\pm}), \quad \text{а} \quad \Gamma_0$$

принадлежит классу  $C^\infty$  [12].

Затем введем в рассмотрение функцию  $u(x)$ , заданную следующим образом  $u = u^-(x)$ , при  $x \in \overline{\Omega^-}$  и  $u = u^+(x)$ , при  $x \in \overline{\Omega^+}$ . Тогда функцию  $u(x)$  можно найти из условия минимума функционала

$$I(u, \Gamma_0) = \iint_{\Omega} |\nabla u|^2 dx_1 dx_2 dx_3 \text{ на соответствующем}$$

множестве  $R$  допустимых функций [19]. Это следует из формулы первой вариации интегрального функционала с неизвестной областью интегрирования [6].

Далее, удобно представить функционал  $I$  в сферических координатах:

$$I(u, \Gamma_0) = \int_0^{2\pi} \int_0^{\pi} \int_0^R \left( u_\rho^2 + \frac{1}{\rho^2} u_\theta^2 + \frac{1}{\rho^2 \sin^2 \theta} u_\phi^2 \right) \rho^2 \sin \theta d\phi d\theta d\rho \quad (2)$$

**Лемма 4.1.** Пусть тройка  $(u^\pm(x), \Gamma_0)$

является классическим решением задачи (4.1). Тогда эта тройка будет стационарной для функционала (4.2) на множестве  $R$ . Обратно, каждая стационарная тройка  $(u^\pm(x), \Gamma_0)$  функционала (4.2) на множестве  $R$ , где  $\Gamma_0$  – достаточно гладкая, связная поверхность, является решением задачи (4.1).

Сформулированная задача (4.1) получается из задачи, изученной в [12] в случае  $\vec{V} = 0$ , т.е. в случае бесконечно большой вязкости,  $Re = 0$ . Поэтому в дальнейшем под решением задачи (4.1) при  $Re = 0$  будем понимать функции  $\vec{V}(x) = 0, u^+(x)$  и  $u^-(x)$ , заданные в  $\Omega^\pm$ . Из условий (4.1) следует, что  $\Gamma_0$  – не что иное, как линия уровня функции  $u(x)$ , т.е:

$\Gamma_0 = \{x \in \Omega : u(x) = 1\}$ . Далее, если предположить выполнение следующего условия:

$$\pm(B^\pm(x) - 1) \geq \varepsilon_0 > 0, x \in \Gamma^\pm,$$

где  $\varepsilon_0$  – некоторая постоянная, тогда поверхность  $\Gamma_0$  лежит внутри области  $\Omega$  и представляет собой поверхность класса  $C^{4+\alpha}$ , не имеющую самопересечений и располагающую относительно  $\Gamma^+$  и  $\Gamma^-$  аналогично поверхности  $\Gamma_t$  (свободная поверхность), изученной в [12]. Следовательно, рассматривая функцию  $u(x)$  в одной из областей  $\Omega^\pm$ , и принимая во внимание лемму о нормальной производной, находим что:

$$\frac{\partial u}{\partial n} = |\nabla u| \geq \varepsilon > 0, \quad x \in \Gamma_0,$$

где  $n$  – нормаль к  $\Gamma_0$ , направленная в сторону  $\Omega_0^+$ , а  $\varepsilon$  – некоторая постоянная. Отсюда, применяя теорему о неявной функции, следует, что  $\Gamma_0$  принадлежит классу  $C^\infty$ , так как этому классу в некоторой окрестности  $\Gamma_0$  принадлежит гармоническая функция  $u(x)$ .

Минимум функционала (4.2) на множестве  $R$  будем искать при помощи сумм:

$$u_n = B^+ + \frac{R^2 - \rho^2}{R^2 - r^2}(B^- - B^+) + (R^2 - \rho^2)(\rho^2 - r^2) \sum_{k=0}^n C_k \rho^k y_k(\varphi, \theta),$$

где  $y_k(\varphi, \theta)$  – сферические функции. Неизвестные коэффициенты  $C_k$  определяют при помощи метода Ритца. Тогда поверхность  $\Gamma_0 : \rho = \rho_0(\varphi, \theta)$  определяется из уравнения  $u_n(\varphi, \theta, \rho_0(\varphi, \theta)) = 1$ .

При этом, необходимо учесть, что  $|\nabla u(x)| \geq \varepsilon_0 > 0$ , в  $\bar{\Omega}$ , где  $\varepsilon_0$  – некоторая постоянная [3].

**Лемма 4.2.** При малых  $t$  справедливо представление:

$$\Gamma_t : \rho(\varphi, \theta, t) = \rho_0(\varphi, \theta) - \operatorname{Re} \frac{u_1^\pm(\varphi, \theta, t)}{|\nabla A^\pm(\varphi, \theta)|} + 0(\operatorname{Re}), (\varphi, \theta) \in \Gamma_0. \quad (3)$$

Здесь  $\operatorname{Re}$  – число Рейнольдса, а  $u_1^\pm(\varphi, \theta, t)$  – первое приближение исходной задачи, изученной в [12].

В частности для нулевого приближения  $u_0(\varphi, \theta)$  из уравнения:

$$u_0 = B^+ + \frac{R^2 - \rho^2}{R^2 - r^2}(B^- - B^+) + (\rho^2 - r^2)(R^2 - \rho^2)C_0 = 1$$

легко найти поверхность  $\rho_0(\varphi, \theta)$ .

Далее, рассмотрим величину,  $\varepsilon_n = I(u_n, \Gamma_0) - I(u, \Gamma_0)$ , где  $u$  – точное решение задачи (4.1). Тогда, можно установить, что  $\varepsilon_n \rightarrow 0$  при  $n \rightarrow \infty$ , если  $C_k$  – коэффициенты Ритца.

Используя результаты Канторовича Л.В. по минимизации квадратичных функционалов, аналогично тому как это сделано в [13], можно доказать следующее утверждение.

**Теорема 4.1.** Последовательность приближений Ритца  $u_n$  сходится к решению задачи (1)  $u$  по норме в  $W_2^1$  и  $C$ , причем

$$\varepsilon_n = O\left(\omega^{(3)}(u, \frac{1}{n}) / n^2\right), \quad \text{и} \quad \text{если}$$

$$\lim_{n \rightarrow \infty} \omega^{(3)}(u, \frac{1}{n}) n^{-1} (\ln n)^{1+\varepsilon} = 0, \quad \text{тогда:}$$

$$\|u - u_n\|_{C(\bar{\Omega})} \leq C_1 \omega^{(3)}(u, \frac{1}{n}) \cdot n^{-1} + C_2 \sum_{s=m}^{\infty} \omega^{(3)}(u, \frac{1}{2^s}) \cdot 2^{-s},$$

где  $C_1$  и  $C_2$  – некоторые постоянные,  $\omega^{(3)}(u, \frac{1}{n})$  – максимальный модуль непрерывности производных третьего порядка функции  $u(x)$  и  $2^{m-1} \leq m < 2^m$ .

**Замечание.** В случае двух геометрических переменных имеют место оценки:

$$\varepsilon_n = O\left(\frac{1}{n^{2(2+\alpha)}}\right), \|u_n - u\|_{C(\bar{\Omega})} \leq C_1 \sqrt{\varepsilon_n \ln \frac{n}{\varepsilon_n}} + C_2 \sqrt{\varepsilon_n}, \quad (4)$$

В работе [10] изучены  $k$ -е приближения  $(\vec{V}, u_k^\pm, \rho_k)$  исходной задачи являющиеся функциями класса  $H^{2+\alpha, (2+\alpha)/2}(\bar{\Omega}^\pm)$ , построены системы уравнений, решениями которых они являются. Формулы (4.3), (4.4) позволяют исследовать  $\Gamma_t$  в зависимости от чисел Рейнольдса  $\operatorname{Re}$ .

Пусть  $T^*$  – температура, которую должна достичь поверхность  $\partial\Omega$ . Эта температура достигается за счет воздействия тепловых потоков мощности  $w_1, w_2, w_3$ , причем мощность одного из них  $w_3$  равномерно распределена в центре  $\partial\Omega$ , а два других  $w_1$  и  $w_2$  сконцентрированы по краям  $\partial\Omega$  [17]. Далее, будет предложен метод нечеткого управления в данном классе задач, который имеет место в спецметаллургии [17].

Пусть  $X_1, X_2, \dots, X_n$  – факторы, влияющие на процесс кристаллизации, а  $Y_1, Y_2, \dots, Y_n$  – условия, при которых происходит появление нового слитка. Тогда нечеткое управление в нашей модели можно представить в виде функционального отображения:

$$X = \{X_1, X_2, \dots, X_n\} \rightarrow Y = \{Y_1, Y_2, \dots, Y_n\}.$$

В простейшем случае, например, в качестве терм-множества лингвистических переменных  $x_1, x_2, x_3$ , где  $x_1 = \{\text{"температура слитка"}\}$ ,  $x_2 = \{\text{"способ нагрева"}\}$ ,  $x_3 = \{\text{"слиток металла"}\}$  можно использовать

соответственно множества:  $T = \{“\text{минимальная}”, “\text{средняя}”, “\text{максимальная}”\}$ ,  $W = \{“\text{минимальный}”, “\text{средний}”, “\text{максимальный}”\}$ ,  $L = \{“\text{минимальный}”, “\text{средний}”, “\text{максимальный}”\}$ . Следовательно, получим:

$$x = \{x_1, x_2, x_3\} \rightarrow y \in [a, b],$$

где  $a$  и  $b$  – некоторые числа, а для выходной лингвистической переменной  $y$  (температура поверхности слитка) будет использоваться термомножество  $Q = \{“\text{минимальная}”, “\text{средняя}”, “\text{максимальная}”\}$ . Пределы  $a$  и  $b$  выбираются таким образом, чтобы произошло отделения слитка от стенок кристаллизации [17]. Далее, формируется база нечетких высказываний из 17 правил.

При численной реализации задачи использовались следующие значения параметров:

$$2500MBm/m^2 \leq W \leq 5000MBm/m^2, 600mm \leq L \leq 6000mm.$$

Численный расчет, позволяющий построить нечеткое управление, был осуществлен с помощью стандартного алгоритма Мамдани, а результаты получены в ходе эксперимента на объектах управления ЭШП [17].

### Численный анализ одной нелинейной математической модели

Пусть  $\Omega \in R^3$  – заданная область, граница которой  $\partial\Omega$  состоит из двух замкнутых, связных гладких поверхностей  $\Gamma^+$  и  $\Gamma^-$ , не имеющих самопересечений, причем поверхности  $\Gamma^\pm$  предполагаются принадлежащими классу  $H^{5+\alpha}$ ,  $0 < \alpha < 1$ . Пусть далее  $\Gamma_t (t \in [0, T])$  – гладкие замкнутые поверхности, лежащие внутри  $\Omega$ , такие, что  $\Gamma^+$  лежит внутри ограничений области, границей которой является  $\Gamma_t$ . Свободная поверхность  $\Gamma_t$  – граница раздела фаз в момент времени  $t$  – разбивает область  $\Omega$  на две связные подобласти  $\Omega_t^-$  и  $\Omega_t^+$ , занимаемых твердой и жидкой фазами соответственно. Требуется определить вектор скорости  $\vec{V}(x, t)$ , давление  $p(x, t)$ , распределения температур твердой и жидкой фаз  $u^-(x, t)$  и  $u^+(x, t)$  и свободную поверхность  $\Gamma_t$  по следующим условиям:

$$\frac{\partial \vec{V}}{\partial t} + (\vec{V} \nabla) \vec{V}(x, t) + \nabla p(x, t) = \frac{1}{Re} \nabla^2 \vec{V}(x, t) + \vec{f}(u^+), \quad (5)$$

$$\vec{\nabla} \vec{V}(x, t) = 0, (x, t) \in D_T^+;$$

$$\frac{\partial}{\partial t} u^+(x, t) + (\vec{V} \nabla) u^+(x, t) - a_+^2 \nabla^2 u^+(x, t) = 0, (x, t) \in D_T^+, \quad (6)$$

$$\frac{\partial}{\partial t} u^-(x, t) - a_-^2 \nabla^2 u^-(x, t) = 0, (x, t) \in D_T^-, \quad (7)$$

$$u^\pm(x, t) \Big|_{t=0} = A^\pm(x), u^\pm(x, t) \Big|_{x \in \Gamma^+ \cup \Gamma^-} = B^\pm(x, t), \quad (8)$$

$$\vec{V}(x, t) \Big|_{t=0} = \vec{C}(x), \vec{V}(x, t) \Big|_{x \in \Gamma^+ \cup \Gamma_t} = 0, \quad (9)$$

$$u^\pm(x, t) \Big|_{x \in \Gamma_t} = 0, \sum_{i=1}^3 \left[ K_- \frac{\partial u^-}{\partial x_i} - K_+ \frac{\partial u^+}{\partial x_i} \right] \cos(n, x_i) + K \cos(n, t) = 0, x \in \Gamma_t, \quad (10)$$

где  $D_T^\pm = \{(x, t) : x \in \Omega_t^\pm, t \in (0, T)\}$ ,  $\partial\Omega^\pm \Gamma_t \cup \Gamma^\pm$ ,  $\nabla = (\partial/\partial x_1, \partial/\partial x_2, \partial/\partial x_3)$ ,  $n$  – нормаль к  $\Gamma_t$ , направлена в сторону  $\Omega_t$ . Предполагается, что  $B^\pm(x, t) \in H^{3+\beta, (3+\beta)/2}(\Gamma^\pm \times [0, T])$ ,  $0 < \beta < \alpha$ ,  $A^\pm(x) \in H^{5+\alpha}(\overline{\Omega}_0^\pm)$ ,  $\vec{C}(x) \in H^{2+\alpha}(\overline{\Omega}^+)$ , где  $\Omega_0^\pm$  – области, на которые разбивает  $\Omega$  граница раздела фаз  $\Gamma_0$  в момент времени  $t = 0$  и  $B^\pm(x, t) \geq \varepsilon_0 > 0$  при  $(x, t) \in \Gamma^\pm \times [0, T]$ .

Параметры  $a_\pm$ ,  $K_\pm$ ,  $K$ ,  $Re$ ,  $\varepsilon_0$  – считаются положительными постоянными, а  $\vec{f}(u^+)$  – принадлежащей классу  $C^2(R^1)$   $\vec{f}'(u^+)$  – ограниченной в  $R^1$ . Задача (4.5) – (4.10) при малых значениях  $t$  разрешима в классе гладких функций, при этом  $u^\pm \in H^{2+\alpha, (2+\alpha)/2}(\overline{D}_T^\pm)$ ,  $\vec{V} \in H^{2+\beta, (2+\beta)/2}(\overline{D}_T^\pm)$ , а свободная поверхность  $\Gamma_t$  принадлежит классу  $H^{2+\alpha, (2+\alpha)/2}$  [5].

Настоящая работа посвящена приближенному анализу задачи (4.5) – (4.10).

Для точек поверхности  $\Gamma_0$  введем координаты  $\omega = (\omega_1, \omega_2)$ , через  $x(\omega) \in \Gamma_0$  или через  $\omega$  будем обозначать также соответствующие точки в  $R^3$ . Далее, пусть  $n(\omega)$  – нормаль к  $\Gamma_0$ , направленная внутрь  $\Omega_0^+$ . В работе [10] установлено, что поверхность  $\Gamma_t$  можно представить в виде

$$\Gamma_t = \left\{ x = x(\omega) + n(\omega) \rho(\omega, t) \right\} \quad \text{с некоторой функцией } \rho(\omega, t) \text{ класса } H^{2+\alpha, (2+\alpha)/2}(\Gamma_0 \times [0, T]), \text{ так что } \rho(\omega, 0) = 0.$$

Предположим, что при малых значениях  $Re$  неизвестные нашей задачи можно представить в виде степенного ряда:

$$u^\pm(x, t) = u_0^\pm(x) +;$$

$$V_i(x, t) = V_{i0}(x) + \sum_{K=1}^{\infty} (\text{Re})^K V_{iK}(x, t), i = 1, 2, 3;$$

$$\rho(\omega, t) = \sum_{K=1}^{\infty} (\text{Re})^K \rho_K(\omega, t).$$

В работах [8-10] изучены нулевые и первые приближения задачи (4.5) – (4.10) для малых чисел  $\text{Re}$ . При этом установлено, что  $u_0^\pm = A^\pm(x)$ ,  $\vec{V}_0(x) = \vec{C}(x)$ ,  $\rho_1(\omega, t) \in H^{2+\alpha, (2+\alpha)/2}(\Gamma_0 \times [0, T])$ ,  $u_1^\pm(x, t) \in H^{2+\alpha, (2+\alpha)/2}(\overline{D_T^\pm})$ , причем  $\rho_1(\omega, t)$  находим как неподвижную точку сжимающегося оператора  $M_1$ :

$$M_1 \rho_1 = \frac{1}{K} \int_0^t \left( K_- \frac{\partial u_1^-}{\partial n} - K_+ \frac{\partial u_1^+}{\partial n} + f(x, t) \right) dt,$$

$$x(\omega) \in [0, T],$$

а  $f_1(x, t)$  – некоторая функция класса  $H^{2+\alpha, (2+\alpha)/2}$

Рассмотрим случай, когда  $B^\pm = B^\pm(x)$  и  $\Omega = \{(x_1, x_2, x_3) : r^2 < x_1^2 + x_2^2 + x_3^2 < R^2\}$ .

Тогда нулевое приближение находим как решение следующей задачи:

$$\begin{cases} \nabla u^\pm(x) = 0, x \in \Omega_0^\pm, A^\pm(x) \Big|_{\Gamma^\pm} = B^\pm(x), u^\pm(x) \Big|_{\Gamma_0} = 0, \\ \vec{C}(x) = 0, x \in \overline{\Omega_0^\pm}, |\nabla u^-(x)| = |\nabla u^+(x)|, x \in \Gamma_0 \end{cases} \quad (11)$$

Заметим, что замена  $\tilde{u}^- = K_- u^-$  при  $x \in \Omega^-$  и  $\tilde{u}^+ = K_+ u^+$ , если  $x \in \Omega^-$  сводит задачу (4.11) к случаю  $|\nabla u^-(x)| = |\nabla u^+(x)|, x \in \Gamma_0$ . Поэтому в дальнейшем будем считать, что это условие выполнено.

Нулевое приближение  $u_0^\pm(x)$ ,  $\Gamma_0$  найдем из условия минимума функционала  $Y(u_0^\pm, \Gamma_0) = \iiint_{\Omega} |\nabla u|_{}^2 dx_1 dx_2 dx_3$ , здесь

$\Omega = \Omega_0^+ \cup \Omega_0^-$  и  $u = u^-$  при  $x \in \Omega^-$  и  $u = u^+$ , если  $x \in \Omega^+$ .

Далее, рассматривая функционал  $Y$  в сферических координатах, получим

$$Y(u_0) = \int_0^{2\pi} \int_0^{\pi} \int_0^R \left( u_\rho^2 + \frac{1}{\rho^2} u_\theta^2 + \frac{1}{\rho^2 \sin^2 \theta} u_\varphi^2 \right) \rho^2 \sin \theta d\varphi d\theta d\rho$$

Минимум функционала ищем в следующем виде

$$u = B^+ + \frac{R^2 - \rho^2}{R^2 - r^2} (B^- + B^+) + (R^2 - \rho^2)(\rho^2 - r^2) \sum_{K=0}^{\infty} C_K \rho^K y_c(\varphi, \theta)$$

Неизвестные коэффициенты  $C_K$  определяются методом Ритца. В частности, в случае нулевого приближения

$$u_0 = B^+ + \frac{R^2 - \rho^2}{R^2 - r^2} (B^- + B^+) + (R^2 - \rho^2)(\rho^2 - r^2) C_0,$$

из уравнения  $\partial Y(u_0) / \partial C_0 = 0$  определим коэффициент  $C_0$ . Справедлива следующая теорема.

**Теорема 4.2.** Поверхность  $\Gamma_0$

представляет собой поверхность класса  $C^\infty$ , не имеющую самопересечений и расположенную относительно  $\Gamma^+$  и  $\Gamma^-$  аналогично поверхности  $\Gamma_t$  в задаче (4.5) – (4.10).

**Доказательство** следует из принципа максимума, применённого к гармонической функции  $\Psi(x) = -\frac{\partial u_0(x)}{\partial \vec{r}}$  оценок  $-\frac{\partial u_0(x)}{\partial \vec{r}} \Big|_{\overline{\Omega}} \geq \tilde{\varepsilon}_0 > 0$  и теоремы о неявной функции, применённой к  $\Psi(x)$ . Здесь  $\vec{r}$  – радиус-вектор точки  $x$ .

Отсюда следует, что поверхность  $\Gamma_0 : \rho = \rho_0(\varphi, \theta)$  можно найти из условия  $u_0(\varphi, \theta, \rho_0(\varphi, \theta)) = 0$ . Тогда для поверхности  $\Gamma_t$  можно воспользоваться уравнением [10]:

$$\Gamma_t = \rho(\varphi, \theta, t) = \rho_0(\varphi, \theta) - \text{Re} \frac{u_1^+(\varphi, \theta, t)}{|\nabla A^\pm(\varphi, \theta)|} + o(\text{Re})$$

На рис. 1 представлена поверхность  $\Gamma_t$ .

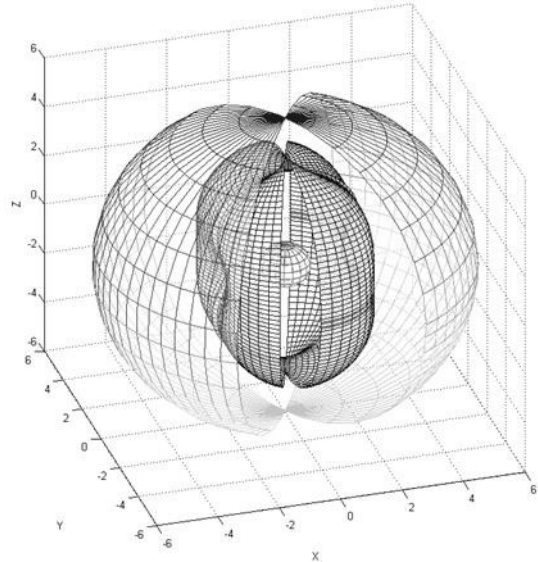


Рисунок 1 - Поверхность  $\Gamma_t$

При построении использованы следующие значения параметров:

$$t = 200, R = 6, r = 0.8, -\frac{\pi}{2} \leq \theta \leq \frac{\pi}{3},$$

$$-\frac{\pi}{2} \leq \varphi \leq \frac{\pi}{2}, B^+ = 3[\cos^2 \theta + \cos^2 \varphi],$$

$$B = -0.35[\cos^2 \theta + \cos^2 \varphi] - 0.1.$$

Свободная поверхность  $\Gamma_t$  расположена между сферами радиусов  $R$  и  $r$ .

Предложенный алгоритм построения поверхности  $\Gamma_t$  позволяет исследовать эту поверхность в зависимости от параметров задачи (5) – (10).

### Заключение

В заключение отметим, что в данной статье была рассмотрена задача Стефана для моделирования сложных систем.

### Литература

1. Миненко А.С. Исследование одной конвективной задачи Стефана методом Ритца // Укр. мат. журнал. 2007. – 59, № 11. – С. 1546 – 1556.
2. Миненко А.С., Шевченко А.И. Об одной проблеме Стефана // Доповіді НАН України. – 2008. – № 1 – С. 26 – 30.
3. Миненко А.С. Проблема минимума со свободной границей // Искусственный интеллект. – 1998. – №2. – С. 101 – 109.
4. Данилюк И.И., Миненко А.С. Об одном подходе к анализу стационарной задачи Стефана при наличии конвекции в жидкой фазе. – В кн.: Мат. физика и Нелин.механика.- Киев, Наукова думка, 1985.- Вып. 65. – С. 39-48.
5. Миненко А.С., Шевченко А.И. Приближенный анализ стационарной конвективной задачи Стефана // Доповіді НАН України.-2010.-№5.-С.36-40.
6. Миненко А.С., Шевченко А.И. Приближенный анализ одной пространственной конвективной задачи теплопроводности // Доповіді НАН України. – 2007. – № 7. – С. 22 – 27.
7. Ладыженская О.А. Краевые задачи математической физики.-М.: Наука, 1973.- С.407.
8. Миненко А.С., Шевченко А.И. Исследование конвективного теплопереноса в одной пространственной задаче теплопроводности // Доповіді НАН України.- 2007. – № 9. – С.25-29.
9. Ладыженская О.А., Солонников В.А., Уральцева Н.Н. Линейные уравнения параболического типа. – М.: Наука, 1967. – 736 с
10. Миненко А.С., Шевченко А.И. Приближенный анализ многомерной конвективной задачи Стефана // Доповіді НАН України.- 2010.-№4 – С.30-34.
11. Данилюк И.И. О задачах Стефана // Успехи мат. наук. – 1985. – Т. 40, № 5(245). – С. 133 – 185.
12. Миненко А.С., Шевченко А.И. Математическое моделирование процессов кристаллизации металла с учетом конвекции и примесей //Доповіді НАН України.-2011.-№6-С.35-39.
13. Солонников В.А. разрешимость задачи о движении вязкой несжимаемой жидкости, ограниченной свободной поверхностью // Изв. АН СССР. Сер. мат.-1977.-41, №6.-С.1388-1424.
14. Данилюк И.И. Математическое моделирование фазовых превращений в двухкомпонентных средах //Доповіді НАН України.-1984.-№12.-С.10-13.
15. Лихт М.К., Кузьминская С.Б. О затвердевании бинарных сплавов в интервале температур. - Физика металлов и металловедения. – 1961. – 11, №6. – С.878-882.
16. Борисов В.Т. Кристаллизация бинарного сплава при сохранении устойчивости // Докл. АН СССР. – 1961, - 136, №3. – С.583-586.
17. Скворцов А.А. К решению вопроса о затвердевании металлов в интервале температур // Затвердевание металлов.-М.: Машиз.-1958.- С.124-160.
18. Борисов В.Т., Виноградов В.В., Духин А.И. О применимости теории квазивновесной двухфазной зоны к описанию кристаллизации слитка // Изв. АН СССР. Сер. металлы.-1971, №6. – С.104-109.
19. Данилюк И.И. О смешанной задаче для квазилинейного управления теплопроводности с кусочно-разрывными коэффициентами // Докл. АН УССР. Сер. А. – 1981, №7. – С.3-7.
20. Данилюк И.И. О начально-краевой задаче для квазилинейного уравнения теплопроводности с кусочно-непрерывными коэффициентами // Проблемы математики и механики. – Новосибирск – 1983. – С.81-94.
21. Данилюк И.И., Миненко А.С. О методе Ритца в одной нелинейной задаче со свободной границей // Докл. АН УССР. Сер А. – 1978. – № 4. – С. 291 – 294.
22. Данилюк И.И., Миненко А.С. Об одной вариационной теплофизической задаче со свободной границей // Сб. докладов на конф. По смешанным граничным задачам и задачам со свободными границами. – Штутгарт, 1978. – С. 9 – 18.
23. Данилюк И.И., Миненко А.С. О вариационном методе изучения квазистационарной задачи Стефана // Успехи мат. наук. – 1981. – Т. 43, № 5. – С. 228.

**Миненко А.С., Радевич Е.В.** *Приближенный анализ конвективной задачи Стефана.* Осуществляется математическое моделирование одного класса сложных систем с применением нечеткой логики, а также численный анализ нелинейной математической модели.

**Ключевые слова:** задача Стефана, анализ, математическое моделирование, математическая модель, нечеткая логика.

**Minenko A. S., Radevich E. V.** *Approximate analysis of convective Stefan problem.* Performed mathematical modeling for a class of complex systems using fuzzy logic, and numerical analysis of nonlinear mathematical models.

**Key words:** Stefan problem, analysis, mathematical modeling, mathematical model, fuzzy logic.

Статья поступила в редакцию 20.09.2017  
Рекомендована к публикации д-ром техн. наук В.Н. Павловым